

## 土石流の流動と堆積について

岐阜大学工学部 正員 河村三郎  
岐阜大学工学部 学生員 山本茂

## 1.理論的考察

&lt;土石流の流速分布、平均流速、および先端部流速&gt;

Bagnoldの流子流の表現にならって流動式を次のようにおく、  
(土石流先端部定義図は、図-1に示す。)

$$\bar{U} = \xi C_m \sigma d^2 \left( \frac{du}{dy} \right)^2 \dots (1)$$

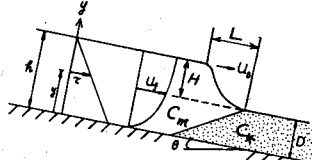


図-1 土石流先端部の定義図

ここに、 $C_m$ =土石流の平均容積濃度、 $\sigma$ =土砂の密度、 $d$ =土砂の平均粒径、 $\xi$ は土石流濃度の関数と考える。一方、せん断応力( $\tau$ )の分布は、

$$\tau = g \sin \theta (\dot{h} - y) [(\sigma - \rho) C_m + \rho] \dots (2)$$

ここに、 $\rho$ =水の密度、 $\dot{h}$ =土石流の水深、 $\theta$ =流路こう配、 $g$ =重力加速度である。

式(1)から式(3)を、さらに式(2)を式(3)に代入して式(4)を得る。

$$U = \sqrt{\frac{1}{\xi C_m \sigma d^2}} \int_0^y \tau^{1/2} dy \dots (3)$$

$$\frac{U}{U_*} = \frac{2}{3} \sqrt{\frac{1}{\xi} \left[ 1 + \frac{1-C_m}{(\sigma/\rho) C_m} \right]} \left( \frac{h}{d} \right) \left[ 1 - \left( 1 - \frac{y}{h} \right)^{3/2} \right] \dots (4)$$

ここに、 $U_* = \sqrt{g h \sin \theta}$  である。表面流速 $U_s$ は $y=h$ で $U=U_s$ であるから、

$$\frac{U_s}{U_*} = \frac{2}{3} f(c) \left( \frac{h}{d} \right) \dots (5)$$

$$f(c) = \sqrt{\frac{1}{\xi} \left[ 1 + \frac{1-C_m}{(\sigma/\rho) C_m} \right]} \dots (6)$$

である。さらに、式(4)と式(5)より式(7)となり、土石流先端部直後の $y=D$ での流速を $U_s$ とすると、式(8)を得る。平均流速( $U_m$ )は、式(4)を使用して式(9)となる。

$$\frac{U_s - U}{U_*} = \left( 1 - \frac{y}{h} \right)^{3/2} \dots (7) \quad \frac{U_s}{U_*} = \frac{2}{3} f(c) \left[ 1 - \left( 1 - \frac{D}{h} \right)^{3/2} \right] \dots (8) \quad \frac{U_m}{U_*} = \frac{2}{5} f(c) \left( \frac{h}{d} \right) \dots (9)$$

平均流速( $U_m$ )を土石流の流量( $q_T$ )で表現するために、式(9)を変形すると式(10)になり、一方 $\dot{h} = q_T/U_m$ であるから、式(10)に $\dot{h} = q_T/U_m$ を代入して、式(11)を得る。

$$U_m = \frac{2}{5} f(c) \frac{\sqrt{g \sin \theta}}{d} \dot{h}^{3/2} \dots (10)$$

$$U_m = \left[ \frac{2}{5} f(c) \frac{\sqrt{g \sin \theta}}{d} \right]^{3/5} q_T^{3/5} \dots (11)$$

## 2.実験装置と実験方法

実験水路( $15 \times 20 \times 600$  cm)に $d_{50}=10$  mm、比重=2.64の砂利と $d_{50}=0.7$  mm、比重=2.62の砂を、一様な厚さ(2.5, 5.0, 7.5, 10.0 cm)に敷き、水路こう配を $15^\circ, 20^\circ, 25^\circ$ の3種類に変え、上流端より給水を行ない土石流を発生させた。流動時には、流量、流速、平均容積濃度、盛り上り高さを測定した。

実験装置は図-2に示した。

## 3.実験データによる理論式の検討

## (1) その表現式

M.A. Dement'yeu のダーラント流動の形式で示すと、 $\xi = d(C_* - C_m)^n \dots (12)$ 。Dement'yeu<sup>1)</sup>は、 $d=1.04$ ,  $n=-1.45$  を与えている。式(12)を式(6)に代入すると  $f(c)$  は、

$$f(c) = \left\{ \frac{1}{d(C_* - C_m)^n} \left[ 1 + \frac{1 - C_m}{(\frac{\rho}{\rho_p}) C_m} \right] \right\}^{1/2} \dots (13)$$

$\xi$  と  $(C_* - C_m)$  との関係を図-3 に示した。この図から、 $\theta = 20^\circ$  について、 $d = 5 \times 10^{-6}$ ,  $n = -11$  が得られた。一方 Bagnold の流動式からは、 $\xi = \beta \left[ \frac{1}{C_m [(C_* / C_m)^{1/3} - 1]^2} \right]^N \dots (14)$

が得られる。大同は、 $N = 1$ ,  $\beta = 0.625 \sim 1.125$  を得ている。 $\xi$  と  $C_m [(C_* / C_m)^{1/3} - 1]^2$  との関係を図-4 に示した。この図からは、 $\theta = 20^\circ$  について、 $N = 5$ ,  $\beta = 1.5 \times 10^5$  が得られた。式(14)を式(6)に代入すると  $f(c)$  は、式(15)となる。

$$f(c) = \left\{ \frac{C_m^N [(C_* / C_m)^{1/3} - 1]^{2N}}{\beta} \left[ 1 + \frac{1 - C_m}{(\frac{\rho}{\rho_p}) C_m} \right] \right\}^{1/2} \dots (15)$$

$\xi$  を  $(1 - C_m)$  の関数として示すと、 $\xi = \gamma (1 - C_m)^M \dots (16)$  この式の場合  $f(c)$  は、

$$f(c) = \left\{ \frac{(1 - C_m)^M}{\gamma} \left[ 1 + \frac{1 - C_m}{(\frac{\rho}{\rho_p}) C_m} \right] \right\}^{1/2} \dots (17)$$

$\xi$  と  $(1 - C_m)$  の関係を示すと図-5 のようであり、この図から  $\theta = 20^\circ$  について  $\gamma = 2.0 \times 10^4$ ,  $M = -40$  が得られた。

## (2) 平均容積濃度と水路床こう配との関係

高橋<sup>2)</sup>は、平均容積濃度( $C_m$ )と水路床こう配( $\theta$ )について次の式を提案している。

$$C_m = \frac{\tan \theta}{(\frac{\rho}{\rho_p} - 1)(\tan \phi - \tan \theta)} \dots (18)$$

ここに、 $\phi$  は堆積層の内部摩擦角である。<sup>3)</sup> (18)と実験結果を示すと図-6 のようである。

堆積形状などについての解析結果は、講演<sup>4)</sup>に述べる。

## 参考文献

- 1) M.A. Dement'yeu ; Internal friction and Lateral particle interaction in high-density slurry flows, Fluid Mech - Soviet Research vol 4, NO1, 1975

2) 高橋・寺田・浜田 ; 土石流の発生に対する高濃度流の影響, 関西支部講演集

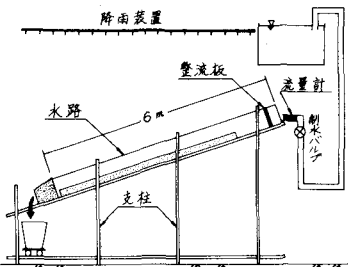


図-2 実験装置

